

# 混合培养神经元和星形胶质细胞对活性氧的应激性

莫永炎<sup>1</sup> 袁媛<sup>2</sup> 周玲<sup>1</sup> 张宝<sup>1</sup> 小忠<sup>1</sup> 第一军医大学自由基医学研究室<sup>1</sup> 广东 广州 510515

**摘要** 目的 研究混合培养脑神经元与星形神经胶质细胞对活性氧叔丁基脂氢过氧化物(tbOOH)的应激性。方法 探讨神经元与星形神经胶质细胞的相互作用。采用 MTT 比色法测定单独培养的大鼠大脑皮层神经元与星形神经胶质细胞在分别遭受 tbOOH 攻击后的细胞存活率及用形态学方法评估二者混合培养时遭受 tbOOH 攻击时的细胞形态变化。结果 单独培养时遭受 tbOOH 攻击后的细胞存活率无显著性差异( $P > 0.05$ )，但二者混合培养时神经元比星形神经胶质细胞损伤死亡严重。结论 神经元和星形神经胶质细胞共同存在时星形神经胶质细胞较神经元对活性氧有较强的抵抗力。

**关键词** 大脑皮质 神经元 星形神经胶质细胞 叔丁基脂氢过氧化物 氧应激

中图分类号 R392.2 R338.1 文献标识码 A 文章编号 1000-2588(2001)01-0032-02

MO Yong-yan, CHEN Yuan, ZHOU Mei, ZHANG Bao, QIU Xiao-zhong  
(Institute of Free Radical Medicine, First Military Medical University, Guangzhou 510515, China)

**摘要** 目的 研究混合培养脑神经元与星形神经胶质细胞对活性氧叔丁基脂氢过氧化物(tbOOH)的应激性。方法 探讨神经元与星形神经胶质细胞的相互作用。采用 MTT 比色法测定单独培养的大鼠大脑皮层神经元与星形神经胶质细胞在分别遭受 tbOOH 攻击后的细胞存活率及用形态学方法评估二者混合培养时遭受 tbOOH 攻击时的细胞形态变化。结果 单独培养时遭受 tbOOH 攻击后的细胞存活率无显著性差异( $P > 0.05$ )，但二者混合培养时神经元比星形神经胶质细胞损伤死亡严重。结论 神经元和星形神经胶质细胞共同存在时星形神经胶质细胞较神经元对活性氧有较强的抵抗力。

中图分类号 R392.2 R338.1 文献标识码 A 文章编号 1000-2588(2001)01-0032-02

最近研究表明由活性氧种活性氧 species 导致的细胞应激细胞应激参与了许多神经退行性病变包括 Alzheimer 病、Parkinson 病和肌萎缩侧索硬化症以及参与了缺血、缺氧、神经兴奋毒等病理过程。在脑组织中存在两种重要的细胞类型即神经元和星形神经胶质细胞。那么它们二者对活性氧的应激性是否一致呢？据报道了单独培养的 AS 和 Neu 对活性氧叔丁基脂氢过氧化物 tbOOH 的应激能力很相似。本研究拟设计二者在混合培养状态下通过光镜观察遭受 tbOOH 攻击后的细胞形态学变化进一步比较二者对活性氧的应激性。

## 1 材料与方法

### 1.1 材料

SD 大鼠购自第一军医大学实验动物中心，RPMI 1640 培养液购自 GIBCO 公司，小

牛血清胎牛血清购自杭州四季青公司，MTT 聚赖氨酸、阿拉伯糖苷 Ara-C 购自 Sigma 产品，其余为国产分析纯。

### 1.2 原代细胞培养与分离

AS 培养方法见参考文献。原代 Neu 细胞培养参考文献的方法并稍作修改。具体步骤：1. 脱脂消毒后用手术镊挑取大脑皮层组织放入含 20% 胎牛血清的 DMEM/F12 培养液中，小心剔除血管。2. 用注射器针芯挤压脑组织，分别通过 200 目和 100 目的不锈钢筛网，用吸管轻轻吹打细胞悬液，使细胞分散。3. 接种于预先经多聚赖氨酸处理的 96 孔板，常规培养 3~5 d。4. 用  $10^{-5}$  mol/L 的 Ara-C 处理 48 h，以抑制非 Neu 细胞。5. 接着换成不含 Ara-C 的正常培养液继续培养 3~4 d。6. AS 与 Neu 的混合培养是将不锈钢网滤过的细胞接种于 6 孔板，用 Ara-C 处理，常规培养 9~10 d。

### 1.3 tbOOH 处理

当 AS 或 Neu 长满 96 孔板底部时，用  $10^{-8} \sim 10^{-3}$  mol/L 的 tbOOH 处理细胞 24 h 后测 MTT 值。用  $10^{-4}$  mol/L 的 tbOOH 处理混合培养的 AS 与 Neu，在 Olympus 光镜下观察二者的形态学变化。

收稿日期 2000-03-09

作者简介 莫永炎，男，湖南麻阳人，1971 年毕业于第一军医大学，硕士，讲师，电话：020-85140114-89103。

#### 1.4 MTT 法

参照文献咱暂于 96 孔培养板的每孔中加 MTT 溶液 20 滴 /ml 放入孵箱中孵育 4 h 去培养液袁加 150 微升二甲亚砜充分振动混匀置酶标仪 Bio-Rad 公司袁 550 型上测定其光吸收值 D( 值波长 570nm) 遥实验结果以细胞存活率表示细胞存活率 = 实验组光吸收值 / 对照组光吸收值 × 100% 遥

1.5 统计分析

采用 Student's *t* 检验遥

2 結果

MTT 法测定显示 Neu 与 AS 的细胞存活率无明显差异( $P > 0.05$ )，但从二者的损伤力学曲线看，AS 的存活率略高于 Neu(图 1)。

在混合培养的 Neu 与 AS 中袁Neu 胞体较小袁光镜下突起长而明显袁紧挨于 AS 的上部生长曰AS 胞体相对 Neu 较大袁分布于低层支撑着 Neu 生长屢 2 穿透

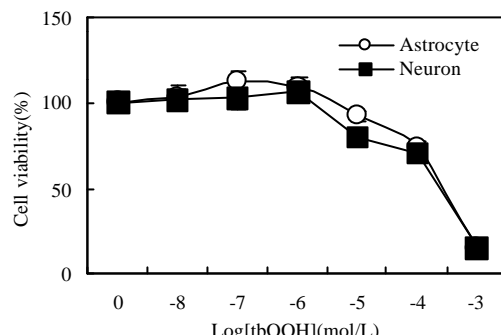


图 1 贼猪钩对大脑皮层神经元和星形神经胶质细胞的损伤动力学曲线图

tbOOH 处理 24 h 后袁 S 与 Neu 数目均明显减少袁上层的 Neu 的突起大多消失袁胞体收缩并解袁 AS 损伤严重袁图 3 袁处理 48 h 后袁 Neu 完全死亡袁仅剩下部分 AS 胞体袁突起肿胀袁趋向死亡袁图 4 袁

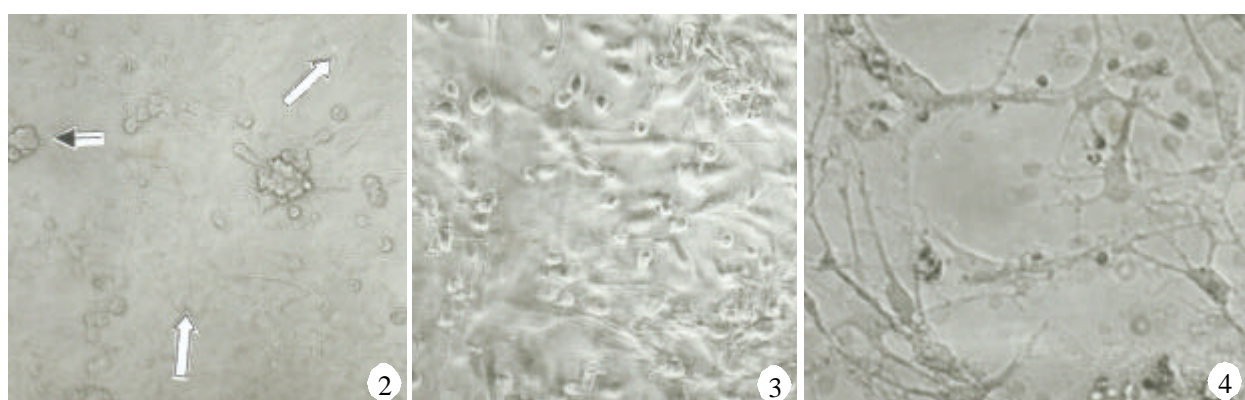


图 2 混合培养的大脑皮层神经元和星形神经胶质细胞光镜图

Big arrow indicates astrocytes, small arrow indicates neuron.

图 猿脑猪钩处理原浆细胞光镜图

云播撒 悅樂農業有限公司水葉城有限公司 廣東省農業科學院植物保護研究所 聯合研發 OM(伊200)

图 源贮猪狗处理 滤泡细胞光镜图

3 讨论

从测定单独培养的 Neu 与 AS 的细胞存活率来看它们对 tbOOH 毒的应激能力无明显差异。结果与 Abe 等<sup>[2]</sup>测定的结果基本一致。但从 Neu 与 AS 混合培养体系看，前者对 tbOOH 毒的抵抗能力明显要低于后者。我们认为单独培养 Neu 与 AS 的生物学特性与二者混合培养时各自所表现出的生物学特性不一样。在二者混合培养体系中，二者之间可能存在着复杂的相互作用。如 Matsutani 等<sup>[3]</sup>发现从 Neu 释放的氨基丁酸与 ABA 启动了 AS 的形态学改变。Pekny 等<sup>[4]</sup>认为 GABA 可能还能诱导 AS 的分化。

等<sup>14</sup>发现 Neu 能调节 AS 谷氨酸合成酶的表达。我们认为 Neu 可能是首先作用于 AS 袁使 AS 分化并使某些抗氧化酶基因和抗氧化剂的生成增加。而获得了对 tbOOH 细胞毒有较强的抵抗力。事实上袁在体外混合培养的初期 Neu 占绝大多数袁然后 潜约 3 天后冤 AS 才迅速增殖。逐渐在细胞数目上占居主导地位。Maker<sup>15</sup> 和 Desagher 等<sup>16</sup>曾相继报道了 AS 中的硒谷胱甘肽过氧化物酶、GPx 和过氧化氢酶等抗氧化酶活性要高于 Neu。但实验的结果表明在单独培养的 Neu 与 AS 的抗氧化能力无明显差异。图 1 只是

的作用机制为麻醉药直接作用于肋间神经分支和交感链。某些情况下，麻醉药物也可进入硬膜外腔发挥神经阻滞作用。药物进入硬膜外腔的比例难以确定，进入硬膜外腔的药物也只产生单侧阻滞作用。<sup>10</sup> Mackenzie<sup>11</sup>应用 0.25% 布比卡因 25ml 行椎旁间隙注射，阻滞范围为 3~4 个节段，镇痛时间为 4~6 h。本组病人阻滞范围为 T2~T11，平均阻滞节段为 2.7±0.37 个。<sup>12</sup> 起效时间短，原因在于利多卡因用于神经阻滞的起效时间短于布比卡因且利多卡因的弥散广泛，穿透作用强。<sup>13</sup> 胸椎旁间隙阻滞在产生感觉阻滞的同时伴有单侧交感神经的阻滞。<sup>14</sup> 阻滞范围较感觉神经阻滞宽。<sup>15</sup> 局麻药液直接作用于交感链和交通支所致。<sup>16</sup> 与硬膜外阻滞相比，椎旁阻滞为单侧阻滞且阻滞范围局限。<sup>17</sup> 对血流动力学的影响小。<sup>18</sup> 本组注射利布合剂后 15 min 内血流动力学各指标均无明显变化。<sup>19</sup> Matthews 等<sup>20</sup>发现开胸术后应用布比卡因时，硬膜外阻滞与椎旁阻滞的镇痛效果相似。<sup>21</sup> 而硬膜外阻滞可引起低血压和尿潴留。<sup>22</sup> 胸椎旁间隙阻滞还可抑制术后的应激反应。<sup>23</sup> Giesecke 等<sup>24</sup>发现术前行椎旁阻滞可降低胆囊切除术后血浆葡萄糖、心率、地松和肾上腺素的增高。<sup>25</sup>

全身麻醉加硬膜外阻滞已广泛应用于开胸手术的麻醉处理。<sup>26</sup> 两种麻醉的联合应用可加强手术镇痛，减轻应激反应。<sup>27</sup> 硬膜外阻滞还可用于术后镇痛。<sup>28</sup> 胸椎旁间隙阻滞作为硬膜外阻滞的替代方法，具有单侧阻滞且范围较小。<sup>29</sup> 血流动力学影响轻微的特点。<sup>30</sup> 也可提供满意的术后镇痛。<sup>31</sup> 由于布比卡因的作用时间长，<sup>32</sup> 本组手术中仅缝皮时椎旁阻滞组的 MAC 值高于硬膜外组。<sup>33</sup> 其它各时间点两组全身麻醉药物的 MAC 值

## 接 33 页

Neu 与 AS 混合培养体系中，AS 的抗氧化能力强于 Neu。<sup>34</sup> 这可能对 AS 保护 Neu 的活性氧损伤具有一定的意义。<sup>35</sup>

## 参考文献院

- <sup>1</sup> Marcus DL, Thomas C, Rodriguez C, *等*. Increased peroxidation and reduced antioxidant enzyme activity in Alzheimer's disease. *Exp Neurol*, 1998, 150(1): 404.
- <sup>2</sup> Abe K, Saito H. Characterization of butylhydroperoxidetoxicity in cultured rat cortical neurones and astrocytes. *Pharmacol Toxicol*, 1998, 83(1): 406.
- <sup>3</sup> 陈 瑰, 周 玮. 自由基医学. 北京: 人民军医出版社, 1991. 142-61.
- <sup>4</sup> Narkesberry WR. Oxidative stress hypothesis in Alzheimer's disease. *Free Radic Biol Med*, 1997, 23(1): 134-47.
- <sup>5</sup> 莫永炎, 罗深秋, 鲍永耀, 等. 一种用 FRAP 测定细胞间隙连接介导通讯的方法. *细胞生物学杂志*, 1997, 19(4): 191-4.
- <sup>6</sup> Kifle Y, Monnier J, Chesrown SE, *等*. Regulation of the man-

和血流动力学指标均无明显差异。<sup>36</sup> 表示在单侧开胸手术中，椎旁间隙阻滞可提供与硬膜外阻滞相同的镇痛效果。<sup>37</sup> 降低手术的应激反应。<sup>38</sup> 连续给药并与全身麻醉相结合完全适用于单侧开胸手术。<sup>39</sup>

## 参考文献院

- <sup>1</sup> Eason MJ, Wyatt R. Paravertebral thoracic block-a reappraisal [J]. *Anesthesia*, 1979, 34(7): 638-42.
- <sup>2</sup> Lonnqvist PA. Paravertebral spaceblock in children [J]. *Ann Fr Anesth Reanim*, 1998, 17(5): fi99-101.
- <sup>3</sup> Richardson J, Sabanathan S. Thoracic paravertebral analgesia [J]. *Acta Anaesthesiol Scand*, 1995, 39(8): 1005-15.
- <sup>4</sup> Eng J, Sabanathan S. Site of action of continuous extrapleural intercostal nerve block [J]. *Ann Thorac Surg*, 1991, 51(3): 387-9.
- <sup>5</sup> Purcell-Jones G, Pither CE, Justins DM. Paravertebral somatic nerve block: a clinical, radiographic, and computed tomographic study in chronic pain patients [J]. *Anesth Analg*, 1989, 68(1): 32-9.
- <sup>6</sup> Mackenzie J. Pre-operative paravertebral block for peri-operative analgesia [J]. *Anesthesia*, 1992, 47(4): 353-4.
- <sup>7</sup> Cheema SP, Illesley D, Richardson J, *等*. A thermographic study of paravertebral analgesia [J]. *Anesthesia*, 1995, 50(2): 118-21.
- <sup>8</sup> Matthews PJ, Govenden V. Comparison of continuous paravertebral and extradural infusions of bupivacaine for pain relief after thoracotomy [J]. *Br J Anaesth*, 1989, 62(2): 204-5.
- <sup>9</sup> Giesecke K, Hamberger B, Jarnberg PO, *等*. Paravertebral block during cholecystectomy: effects on circulatory and hormonal responses [J]. *Br J Anaesth*, 1988, 61(6): 652-6.
- <sup>10</sup> 宋吉贵, 钢袁, 古妙宁, 宁等. 椎旁间隙阻滞用于开胸术后镇痛 [J]. 第一军医大学学报, 1999, 19(2): 147-8.

ganese superoxide dismutase and inducible nitric oxide synthase gene in rat neuronal and glial cells. *J Neurochem*, 1996, 66(5): 2128-35.

莫永炎, 罗深秋. 正常与肿瘤性星形神经胶质细胞细胞间直接通讯的比较.<sup>10</sup> 第一军医大学学报, 1997, 17(3): 223-4.

Matsutani S, Yamamoto N. Neuronal regulation of astrocytemorphology. <sup>11</sup> This is mediated by GABAergic signaling. <sup>12</sup> Glia, 1997, 20(1): 1-9.

Pekny M, Eliasson C, Chien CL, *等*. GFAP-deficient astrocytes are capable of stellation. <sup>13</sup> When co-cultured with neurons and exhibit a reduced amount of intermediate filaments and an increased cell saturation density. <sup>14</sup> *Exp Cell Res*, 1998, 239(2): 332-43.

Mearow KM, Mill JF, Freese E. Neuron-glia interactions involved in the regulation of glutamine synthetase. <sup>15</sup> *Glia*, 1990, 3(5): 385-92.

Makar TK, Nedergaard M, Preuss A, *等*. Vitamin E, ascorbate, glutathione, glutathione disulfide and enzymes of glutathione metabolism in cultures of chick astrocytes and neurons: evidence that astrocytes play an important role in antioxidant processes in brain [J]. *J Neurochem*, 1994, 62(1): 45-53.

Desagher S, Glowinski J, Premont J. Astrocytes protect neurons from hydrogen peroxide toxicity [J]. *J Neurosci*, 1996, 16(8): 2553-62.